
RAPPORT

Mellomila 79 – 81

OPPDAGSGIVER

Mellomila 79 – 81 AS

EMNE

Beregningsrapport – Reguleringsplan

DATO / REVISJON: 28. mai 2021 / 00

DOKUMENTKODE: 10224809-RIG-RAP-002



Multiconsult

Denne rapporten er utarbeidet av Multiconsult i egen regi eller på oppdrag fra kunde. Kundens rettigheter til rapporten er regulert i oppdragsavtalen. Hvis kunden i samsvar med oppdragsavtalen gir tredjepart tilgang til rapporten, har ikke tredjepart andre eller større rettigheter enn det han kan utlede fra kunden. Multiconsult har intet ansvar dersom rapporten eller deler av denne brukes til andre formål, på annen måte eller av andre enn det Multiconsult skriftlig har avtalt eller samtykket til. Deler av rapportens innhold er i tillegg beskyttet av opphavsrett. Kopiering, distribusjon, endring, bearbeidelse eller annen bruk av rapporten kan ikke skje uten avtale med Multiconsult eller eventuell annen opphavsrettshaver.

RAPPORT

OPPDRAG	Mellomila 79 – 81	DOKUMENTKODE	10224809-RIG-RAP-002
EMNE	Beregningsrapport – Reguleringsplan	TILGJENGELIGHET	Åpen
OPPDRAGSGIVER	Mellomila 79 – 81 AS	OPPDRAGSLEDER	Elisabeth Leirvik Rabben
KONTAKTPERSON		UTARBEIDET AV	Fredrik Aune
KOORDINATER	SONE: 32 ØST: 567660 NORD: 7034410	ANSVARLIG ENHET	10234011 Geoteknikk Midt
GNR./BNR./SNR.	417 / 100 / - / Trondheim		

SAMMENDRAG

Mellomila 79 – 81 AS planlegger utbygging av et nytt leilighetsbygg på tomta Mellomila 79 – 81, gnr./bnr. 417/100 og 417/94. Multiconsult er engasjert som geoteknisk rådgiver for detaljregulering av området.

Foreliggende rapport redegjør for valg av materialparametere og beregninger knyttet til område- og lokal stabilitet.

Det er utført stabilitetsberegninger for et representativt profil. Stabiliteten er beregnet ved totalspenningsanalyse, ADP-beregning, og effektivspenningsanalyse, aφ-analyse. For beregninger på totalspenningsbasis (ADP-analyse) er det benyttet anisotropisk jordmodell.

På grunnlag av stabilitetsberegningene og øvrige vurderinger av den planlagte utbygningen, er det vurdert at utbygningen er gjennomførbar med hensyn på sikkerhet mot skred forutsatt at det ikke påføres noe ekstra vekt på terrenget.

For ytterligere geotekniske vurderinger vises det til notat 10224809-RIG-NOT-002 – Geoteknisk vurdering.

			<i>Fredrik Aune</i>	<i>Silje Mordal</i>	<i>Roger Kristoffersen</i>
00	28.05.2021	Beregningsrapport - Reguleringsplan	Fredrik Aune	Silje Mordal	Roger Kristoffersen
REV.	DATO	BESKRIVELSE	UTARBEIDET AV	KONTROLLERT AV	GODKJENT AV

INNHOLDSFORTEGNELSE

1	Innledning	5
1.1	Formål og bakgrunn.....	5
2	Grunnlag.....	5
3	Topografi og grunnforhold	5
4	Tolkning av beregningsparametere.....	6
4.1	Kvalitet av undersøkelser.....	6
4.2	Tyngdetethet	6
4.3	Grunnvannsnivå og poretrykk.....	6
4.4	Tidligere overlagring	7
4.4.1	Ødometerforsøk	7
4.4.2	σ'_c og OCR fra CPTU.....	7
4.5	Udrenerte styrkeparametere.....	8
4.5.1	Generelt	8
4.5.2	Cu fra enaks	8
4.5.3	CuA fra CPTU-sonderinger	8
4.5.4	Tolkning CPTU	9
4.5.5	Anisotropi	10
4.5.6	Korreksjon for sprøbruddmateriale	10
4.6	Effektivspenningsparametere.....	11
4.6.1	Effektivspenningsparametere, friksjonsvinkel, ϕ_k	11
4.7	Materialparametere	11
5	Stabilitetsberegnninger	12
5.1	Generelt	12
5.2	Beregningssverktøy	12
5.3	Laster	12
5.4	Krav til sikkerhet	12
5.5	Valg av kritiske beregningsprofiler.....	12
5.6	Beregningssprofiler	13
6	Konklusjon.....	14
7	Referanser	15

TEGNINGER

10224809-RIG-TEG	-002	Borplan inkl. beregningsprofil
	-400.3	BP.6, d=14,42m. Kontinuerlig ødometerforsøk, CRS-rutine. Tolkning: σ_{av}' - ϵ_a , M og c_v .
	-401.3	BP.6, d=28,3m. Kontinuerlig ødometerforsøk, CRS-rutine. Tolkning: σ_{av}' - ϵ_a , M og c_v .
	-500.5	Prekonsolideringstrykk, σ'_c
	-500.6	Overkonsolideringsgrad, OCR
	-500.7	Tolkning av udrenert skjærfasthet
	-602	Profil C-C
	-700	Profil C-C, lagdeling
	-800	Profil C-C, stabilitetsberegninger, totalspenningsanalyse, udrenert
	-801	Profil C-C, stabilitetsberegninger, effektivspenningsanalyse, drenert

1 Innledning

1.1 Formål og bakgrunn

Mellomila 79 – 81 AS planlegger utbygging av et nytt leilighetsbygg på tomta Mellomila 79 – 81, gnr./bnr. 417/100 og 417/94. Multiconsult er engasjert som geoteknisk rådgiver for detaljregulering av området.

Foreliggende rapport redegjør for valg av materialparametere og beregninger knyttet til område- og lokal stabilitet. Geotekniske vurderinger av utbygningen er beskrevet i 10224809-RIG-NOT-002 – Geoteknisk vurdering [1].

2 Grunnlag

For aktuelt grunnlag henvises det til notat RIG-NOT-002 – Geoteknisk vurdering [1].

3 Topografi og grunnforhold

For beskrivelse av topografi og grunnforhold vises det til RIG-NOT-002 – Geoteknisk vurdering [1].

4 Tolkning av beregningsparametere

Tolkning av beregningsparametere er i hovedsak basert på grunnundersøkelsene og tilhørende laboratorieundersøkelser utført i forkant av denne vurderingsrapporten, gjengitt i rapport 10224809-RIG-RAP-001 [2]. I tillegg er det sett til tidligere rapporter og grunnundersøkelser utført av Rambøll, Statens vegvesen og Multiconsult, gjengitt i tabell 2-1 i kap. 2, samt erfaringsparametere der det er funnet nødvendig.

Valgte parametere er oppsummert i tabell 4-6.

4.1 Kvalitet av undersøkelser

CPTU-sonderinger klassifiseres i anvendelsesklasser 1 til 4 for spissmotstand, sidefriksjon og poretrykk på grunnlag av nullpunktsforskyvninger og maksimal inklinasjon etter NGF melding nr. 5 [3]. CPTU-sonderingene i bp. 6 er i anvendelsesklasse 1 for alle parametere.

Ødometerforsøket i bp. 6, dybde 14,42 m, viser dårlig prøvekvalitet da det er vanskelig å tolke en entydig prekonsolidering. Dette kan indikere prøveforstyrrelse.

Ødometerforsøket i bp. 6, dybde 28,30 m, viser relativt god prøvekvalitet basert på tydelighet av prekonsolidert område.

4.2 Tyngdetetthet

Målt tyngdetetthet på opptatte prøver er benyttet som grunnlag for å bestemme representativ tyngdetetthet.

For materialer hvor det ikke finnes målte verdier av tyngdetetthet er det benyttet erfaringsverdier iht. SVV Håndbok V220.

4.3 Grunnvannsnivå og poretrykk

Multiconsult har utført poretrykksmålinger i to nivåer i bp. 6, ved henholdsvis dybde 16 m og 31 m under terrenget. Bp. 6 er utført ved ca. kote + 4,9. Tabell 4-1 gir en oppsummering av tolket grunnvannsforhold.

Tabell 4-1: Oppsummering av poretrykksmålinger

Borpunkt Dybde	Siste dato registrert	Gjennomsnittlig trykkhøyde, kote [m]	Antatt GV dybde [m]	Antatt GV kote [m]	Antatt overtrykk/ undertrykk [+/-]
2 16 m	29.04.2021	+ 3,36	4,0	+ 0,9	+ 2,46
2 31 m	29.04.2021	+ 6,23	4,0	+ 0,9	+ 5,33

Bp. 6 ligger ca. 130 m unna sjøen i havneområdet i Ilsvika.

4.4 Tidligere overlagring

4.4.1 Ødometerforsøk

Det er utført ødometerforsøk i bp. 6, presentert i rapport 10224809-RIG-RAP-001. Resultater av tolkning av ødometerforsøkene fra rapport 10224809-RIG-RAP-001 er gjengitt i tabell 4-2.

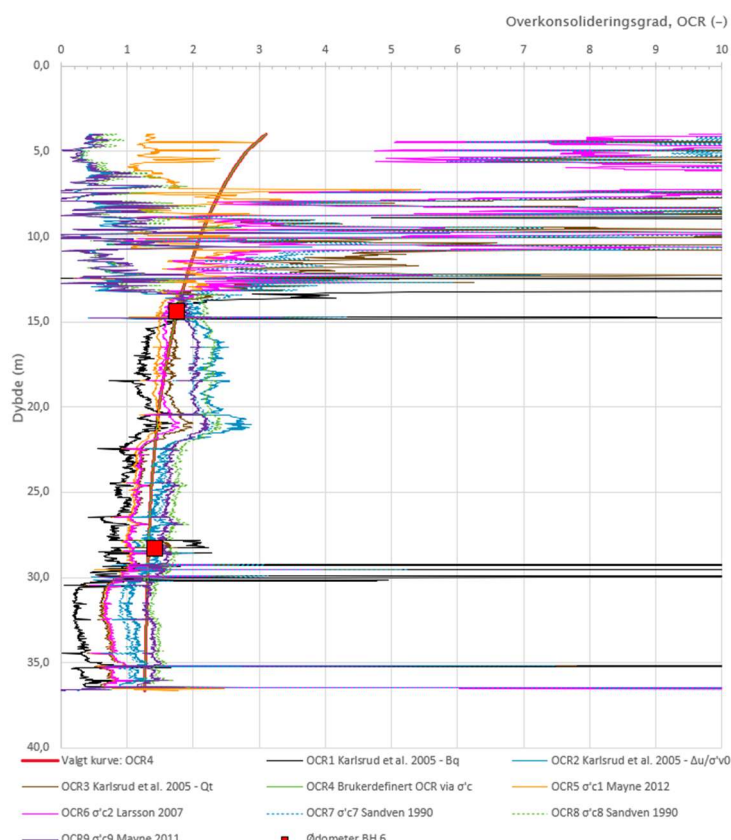
Tabell 4-2: Konsolideringsgrad fra utførte ødometerforsøk.

Rapport/borhull	Kote, dagens terrengrunn (NN2000)	GV dybde [m]	Tyngdetetthet [kN/m ³]	Dybde [m]	Tolket p' _c [kPa]	p' _o [kPa]	OCR
RAP-001/ 6	+4,9	4	20	14,42	260	148	1,8
RAP-001/ 6	+4,9	4	20	28,30	350	245	1,4

Resultatene tyder på at leiren er noe overkonsolidert, med minkende overkonsolideringsgrad mot dybden.

4.4.2 σ'_c og OCR fra CPTU

Prekonsolideringsforhold og grunnens deformasjonsegenskaper er bestemt ut ifra ødometerforsøkene. Data fra CPTU er benyttet til å ekstrapolere dataene fra ødometerforsøkene mot dybden. Tolket OCR-forhold er presentert i figur 4-1, fra CPTU.



Figur 4-1: Tolket OCR-forhold med dybden fra CPTU i borpunkt 6.

4.5 Udrenerete styrkeparametere

4.5.1 Generelt

Tolkning av udrenert skjærfasthet er basert på kombinasjonen av utførte laboratorieundersøkelser og CPTU-sondering. I tillegg er det sett til Rambølls rapport og tidligere utførte grunnundersøkelser for å anslå skjærfasthetsprofiler der hvor det har vært aktuelt. Skjærfasthetsprofilene er i hovedsak basert på CPTU i bp. 6.

4.5.2 Cu fra enaks

Verdier for c_u fra rutineundersøkelser på opptatte (enaks og konus) er i våre vurderinger betraktet som verdier for gjennomsnittlig skjærstyrke, c_u . Verdiene er ikke tillagt særlig vekt i tolkning av profil for opptrødende aktiv udrenert skjærfasthet, men benyttes for å peile mot erfaringsverdier i områdene med tynt grunnlag.

4.5.3 CuA fra CPTU-sonderinger

For bestemmelse av udrenert skjærstyrke er CPTU-sonderingene korrelert iht. empirisk baserte tolkningsfaktorer ref. (Lunne et al., 1997) [4] og (Karlsrud et al., 2005) [5]. For bløte, finkornige masser med relativt homogene forhold, betraktes tolkning av CPTU på poretrykksbasis normalt som den mest egnede metoden. c_{uA} fra CPTU tolkes fra følgende korrelasjoner:

Tabell 4-3: Oversikt over tolkningsmetoder aktiv skjærfasthet.

Tolkningsmetode	Merknader	Forklaringer
$c_{uA} = \frac{q_n}{N_{kt}}$	Spissmotstandsbasis	N_{kt} = Bæreevnefaktor q_n = Netto spissmotstand fra CPTU-sondering
$c_{uA} = \frac{\Delta u}{N_{\Delta u}}$	Poretrykksbasis	$N_{\Delta u}$ = Bæreevnefaktor Δu = Poreovertrykk fra CPTU ($\Delta u = u_2 - u_0$)

4.5.4 Tolkning CPTU

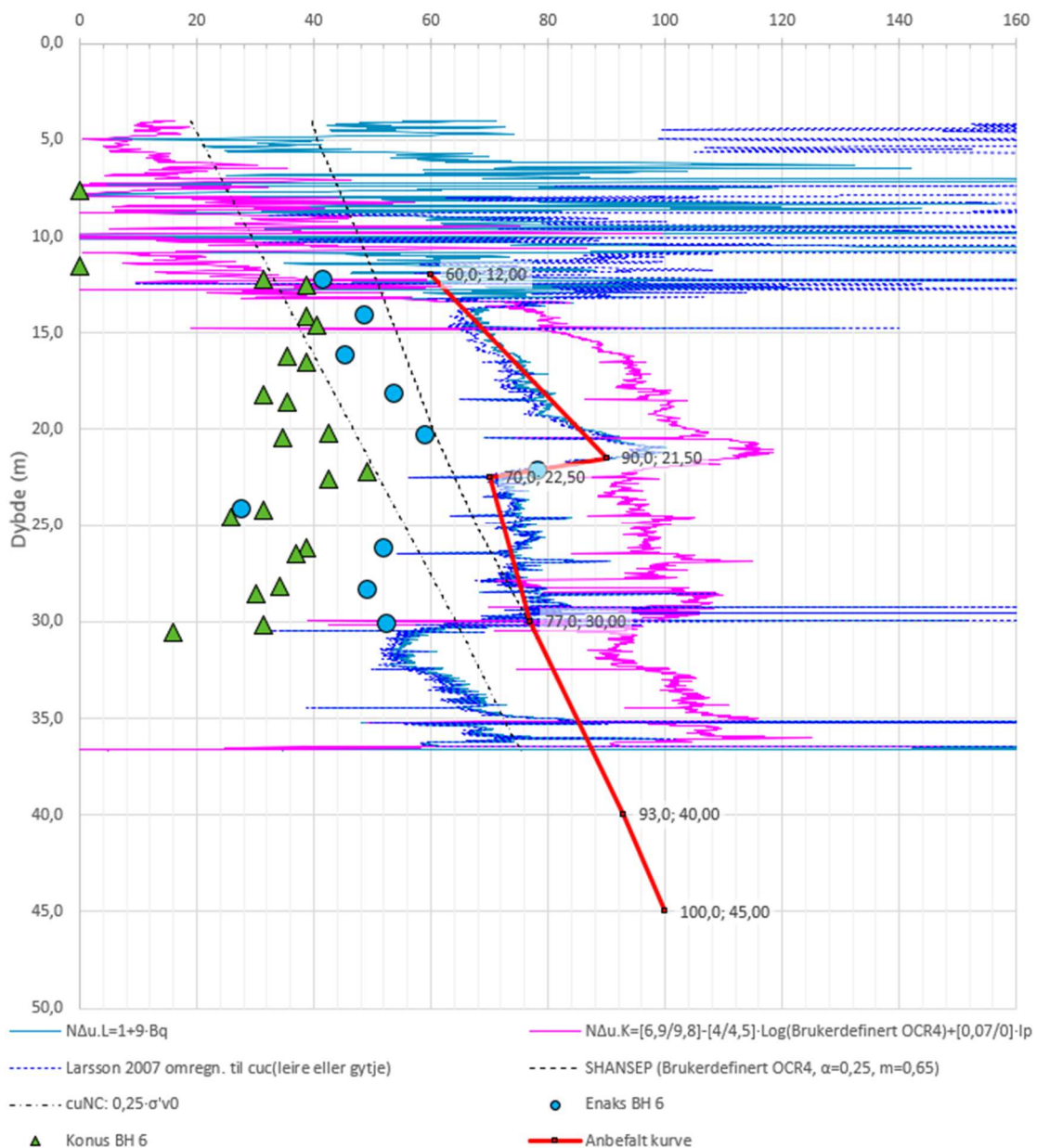
Anisotropiforhold i figur:

Treks BH 6: $c_{uC}/c_{uCPTU} = 1,000$

Enaks BH 6: $c_{uUC}/c_{uCPTU} = 1,000$

Konus BH 6: $c_{uFC}/c_{uCPTU} = 1,000$

Udrenert aktiv skjærfasthet, c_{uCPTU} (kPa)



Figur 4-2: Tolket skjærfasthetsprofil fra CPTU, bp. 6.

4.5.5 Anisotropi

Det er ikke utført parallelle aktive og passive treaksialforsøk for vurdering av anisotropiforhold. Anisotropiforholdet er derfor vurdert ut fra publiserte «omforent anbefaling» i NIFS-rapport nr. 14/2014 [6] som vist i tabell 4-4. Valgte ADP-faktorer er vist i tabell 4-5.

Tabell 4-4: Anisotropifaktorer iht. NIFS-rapport nr. 14/2014.

I_p	C_{uD}/C_{uC}	C_{uE}/C_{uC}
$I_p \leq 10\%$	0,63	0,35
$I_p \geq 10\%$	$0,63 + 0,00425 * (I_p - 10)$	$0,35 + 0,00375 * (I_p - 10)$

Tabell 4-5: Valgte ADP-faktorer.

	C_{uD}/C_{uC}	C_{uE}/C_{uC}
Leire	0,63	0,35
Kvikkleire/ Sprøbruddmateriale	0,63	0,35

4.5.6 Korreksjon for sprøbruddmateriale

Når det utføres beregninger med grenselikevektsmetoden eller FEM som ikke tar hensyn til sprøbrudd, må beregnet sikkerhetsfaktor korrigeres dersom tiltaket innebærer en forverring av stabilitet. Slik korreksjon foretas ved bruk av sprøhetsforholdet f_s , definert ved:

$$F_{c,u;sprø} = F_{c,u}/f_s$$

Hvor

$F_{c,u;sprø}$ – Sikkerhetsfaktor for et sprøtt brudd ($F_{c,u;sprø} \geq 1,4$, jf. Krav i kap. 3.3. [7])

$F_{c,u}$ – Sikkerhetsfaktor for et perfekt plastisk brudd (grenselikevektsmetoden)

f_s – Sprøhetsforholdet = 1,15

Vedrørende korreksjon for sprøbrudd er det verdt å merke seg følgende:

- Metoden innebærer en endring fra tidligere veileder hvor korreksjonen ble lagt på reduksjon av aktiv skjærfasthet i lag med sprøbruddmateriale. Etter denne endringen skal det ikke gjøres noen reduksjon av skjærfastheter i selve beregningen, mens det i stedet gjøres en reduksjon av resulterende sikkerhetsfaktor.
- Korreksjonen foretas for hele glideflaten selv om kun deler av den passerer eller tangerer sprøbruddmateriale.
- Det skal ikke foretas korreksjon ved forbedret eller uendret stabilitet (dvs. ikke for skråninger som ligger utenfor influensområdet til tiltaket, og ikke når planlagt tiltak kan bygges kompensert).
- Korreksjon skal foretas uavhengig av prøvekvalitet. Det vil være et stort potensial for besparelser ved å gjennomføre undersøkelser med god kvalitet for å optimalisere/redusere behov for sikringstiltak.

4.6 Effektivspenningsparametere

4.6.1 Effektivspenningsparametere, friksjonsvinkel, φ_k

Valgte effektivspenningsparametere er basert på erfaringsverdier iht. Statens Vegvesen Håndbok V220.

Styrkeparametere benyttet ved beregning er angitt i tabell 4-6 i delkapittel 4.7.

4.7 Materialparametere

Materialparametere benyttet ved beregning er angitt i tabell 4-6. Verdiene for aktiv udrenert skjærfasthet som er benyttet i de udrenerte stabilitetsberegningene er vist som c_{uA} -profiler i stabilitetstegningene.

Tabell 4-6: Valgte materialparametere.

Material	Tyngtetetthet, γ [kN/m ³]	Neddykket tyngdetetthet, γ' [kN/m ³]	Friksjon, tan φ_k [-]	Attraksjon, a [kPa]
Sand	19,0	9,0	0,70 ($\phi_k=35^\circ$)	0
Silt	18,0	8,0	0,62 ($\phi_k=32^\circ$)	0
Leire 1	19,0	9,0	0,46 ($\phi_k=25^\circ$)	6
Sprøbruddmateriale	19,0	9,0	0,46 ($\phi_k=25^\circ$)	4
Leire 2	20,0	10,0	0,46 ($\phi_k=25^\circ$)	6
Morene	20,0	10,0	0,73 ($\phi_k=36^\circ$)	3

5 Stabilitetsberegninger

5.1 Generelt

Det er utført stabilitetsberegninger for ett utvalgt profil. Dette profilet er antatt å være mest representativt for planlagt utbygging med hensyn på grunnforhold, topografi og foreliggende utbyggingsplaner. Plassering av profilet er vist på situasjonsplan, tegning 10222688-RIG-TEG-002. Selve beregningene er vist på tegningene -RIG-TEG-800 og -RIG-TEG-801.

Det er utført stabilitetsberegninger for dagens situasjon. Det er tidligere utført stabilitetsberegninger for dagens tilstand vest og øst for planlagt tiltak, presentert i rapport 1350017722 – Rapport nr. 1, utarbeidet av Rambøll, datert 18.11.2016.

Stabiliteten er beregnet ved totalspenningsanalyse, ADP-beregning, og effektivspenningsanalyse, aφ-analyse. For beregninger på totalspenningsbasis (ADP-analyse) er det benyttet anisotropisk jordmodell.

5.2 Beregningsverktøy

Stabilitetsberegningene er gjennomført med beregningsprogrammet «GeoSuite Stability» versjon 22.0.1.0 med beregningsmetode Beast 2003. Beregningsmetoden er basert på grenselikevektsmetoden, og anvender en versjon av lamellemetoden som tilfredsstiller både kraft- og momentlikevekt. Programmet kan selv søke etter kritisk sirkulærsvindrisk glideflate for definerte variasjonsområder av sirkelsentrums eller gir muligheten til å definere egne glideflater. «Restrict shear surface» har blitt benyttet for å belyse ulike skjærflater.

5.3 Laster

For stabilitetsberegningene er det forutsatt at nybygget ikke vil tilføre ekstra last på terrenget. Det er forutsatt at bygget fundamentaleres på peler til berg, eller ved kompensert fundamentering. Det er dermed tatt utgangspunkt i at stabiliteten for dagens tilstand vil være tilstrekkelig for å vurdere områdestabiliteten under bygging, og etter ferdigstilling.

5.4 Krav til sikkerhet

Krav til sikkerhetsnivå er bestemt i iht. NVEs retningslinjer og Eurokode 7 [8], og er beskrevet i kap. 5 i vurderingsnotat -002 [1].

5.5 Valg av kritiske beregningsprofiler

Profil A-A

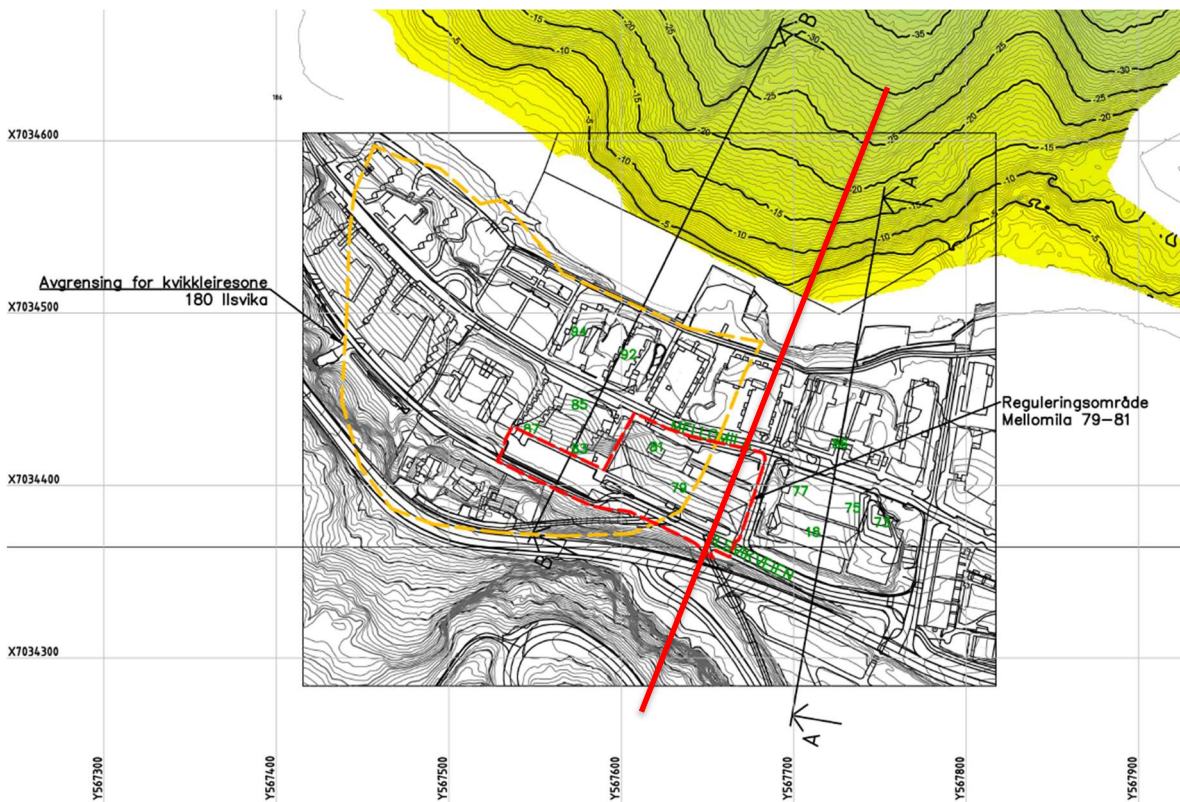
Rambøll har i forbindelse med tidligere skredfarevurdering for tidligere reguleringsplan utført stabilitetsberegninger i to snitt, henholdsvis like vest, og like øst, for aktuell tomt, vist i figur 5-1. Profilet vest for aktuell tomt vurderes å være kritisk profil for kvikkleiresonen.

Rambøll har gjennom sine beregninger oppnådd tilfredsstillende stabilitet gjennom dette snittet. For detaljert gjennomgang av skredfarevurderingen utført av Rambøll vises det til rapport 1350017722 [9].

Rambølls beregninger er utført med en reduksjon av aktivstyrke for sprøbruddmateriale slik den gamle veilederen beskriver. I henhold til ny veileder skal ikke aktivstyrke reduseres. Beregninger utført etter nytt regelverk vil dermed gi lik eller høyere sikkerhetsfaktor. Dette gir videre krav om lik eller mindre prosentvis forbedring.

Det kan dermed konkluderes med at stabiliteten i kritisk profil i kvikkleiresonen tilfredsstiller krav i henhold til ny veileder.

Regelverket krever imidlertid at det også dokumenteres tilfredsstillende stabilitet lokalt, der hvor tiltaket skal utføres. Med bakgrunn i dette er kritisk snitt for denne vurderingen valgt å gå rett gjennom aktuell tomt, vinkelrett på de bratteste partiene ned mot sjøen.



Figur 5-1: Oversiktskart med plassering av Rambølls plassering av kritiske snitt, A og B [9]. Nye beregninger utført av Multiconsult er gjort gjennom beregningssnitt markert med rødt (omtrentlig plassering).

5.6 Beregningsprofiler

Profil A-A

Grunnundersøkelser og tolket lagdeling for Profil A-A er vist i tegning -700. Resultater av stabilitetsberegningene er vist i tabell 5-1. Selve beregningene er vist på tegningene -800 og -801.

Tabell 5-1: Sikkerhetsfaktor for kritisk skjærflate for Profil A-A.

Tegning nr.	Beregning	Analyse	Sikkerhetsfaktor F for kritisk skjærflate
10224809-RIG-TEG-800	Profil A-A, dagens tilstand	ADP-analyse	1,60
10224809-RIG-TEG-800	Profil A-A, dagens tilstand, optimalisert sammensatt skjærflate	ADP-analyse	2,0
10224809-RIG-TEG-801	Profil A-A, dagens tilstand	$\alpha\phi$ -analyse	2,42
10224809-RIG-TEG-801	Profil A-A, dagens tilstand, optimalisert sammensatt skjærflate	$\alpha\phi$ -analyse	4,59

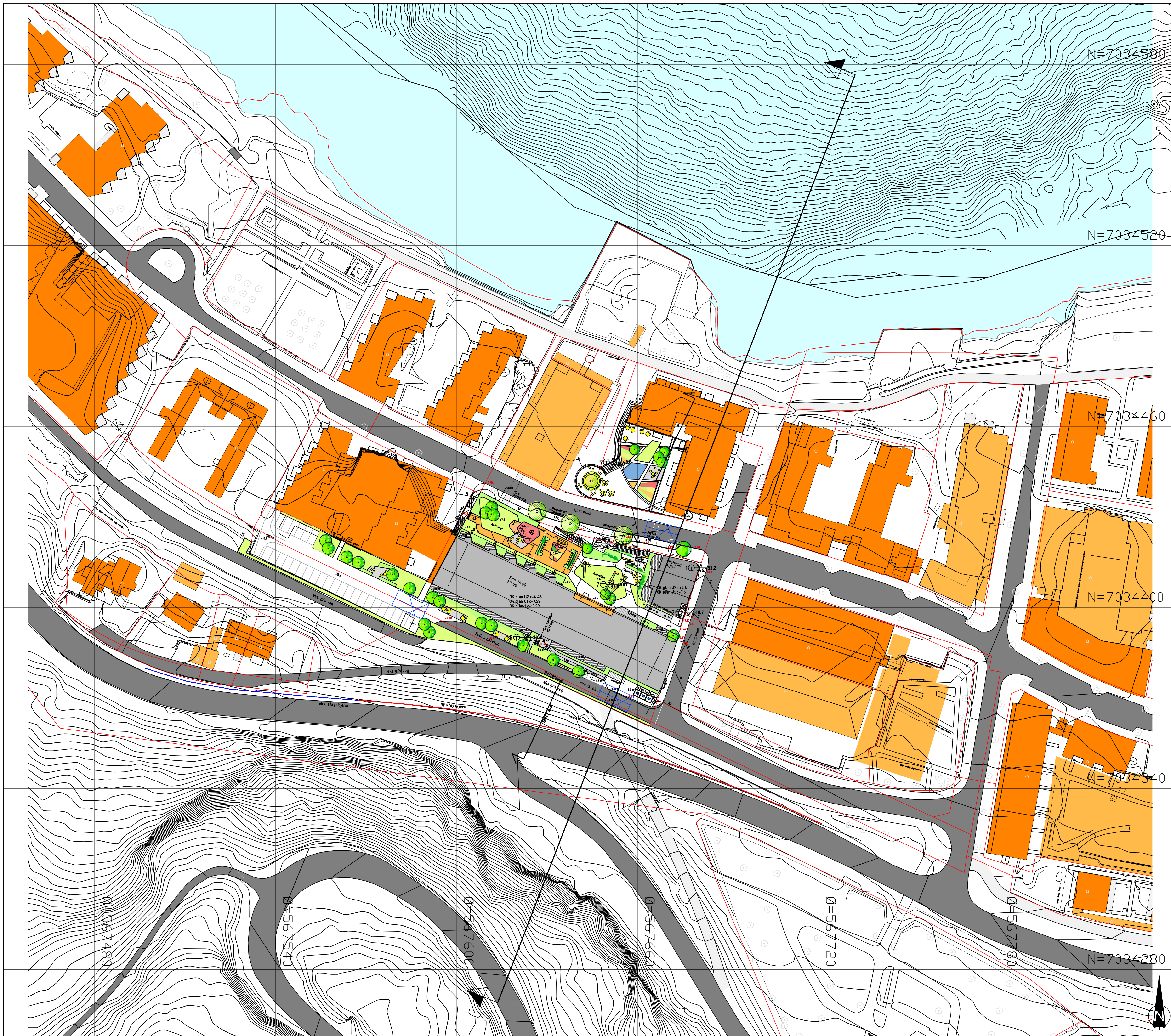
6 Konklusjon

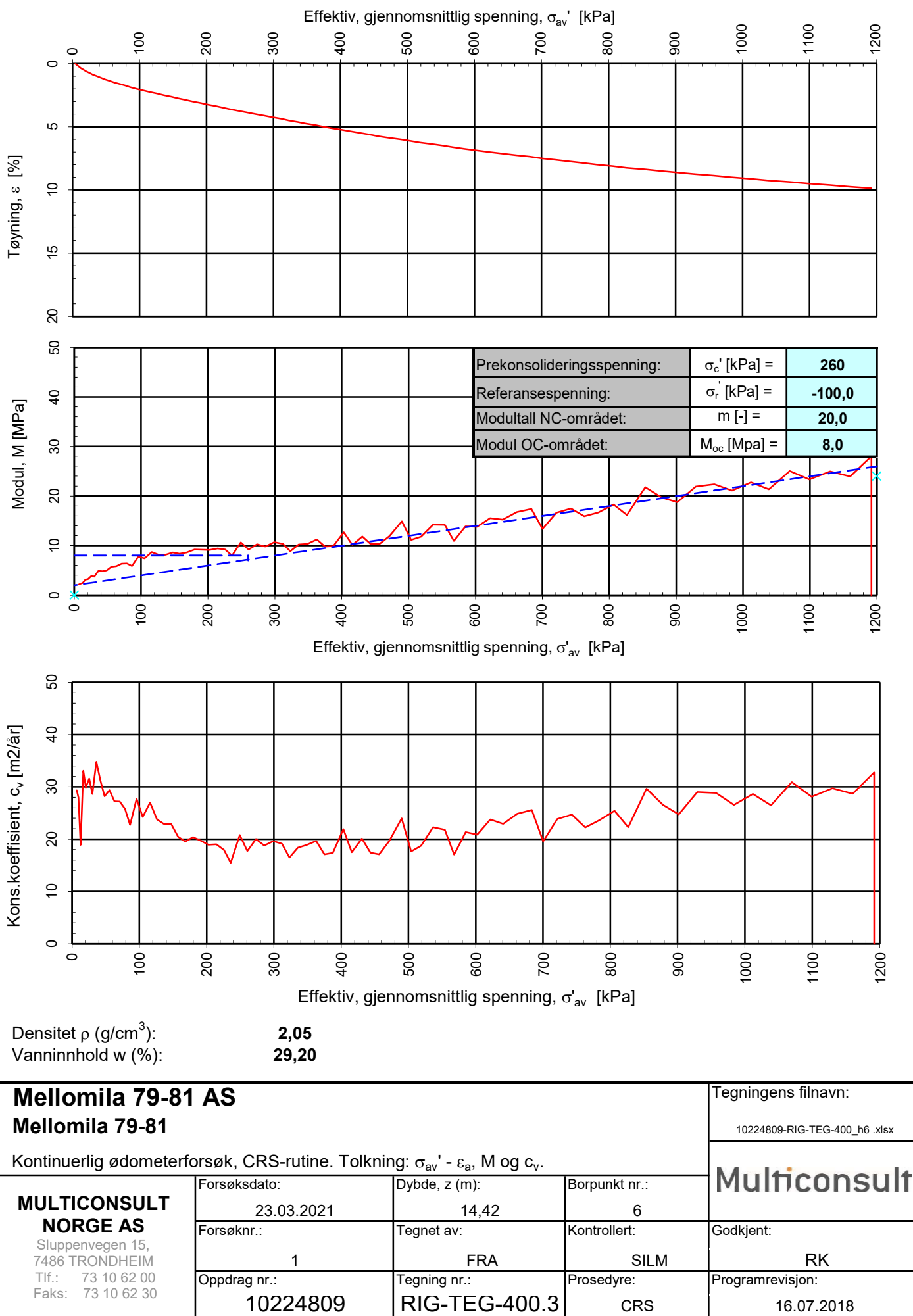
På grunnlag av stabilitetsberegningene og øvrige vurderinger av den planlagte utbyggingen, er det vurdert at utbyggingen er gjennomførbar med hensyn på sikkerhet mot skred forutsatt at det ikke påføres noe ekstra vekt på terrenget.

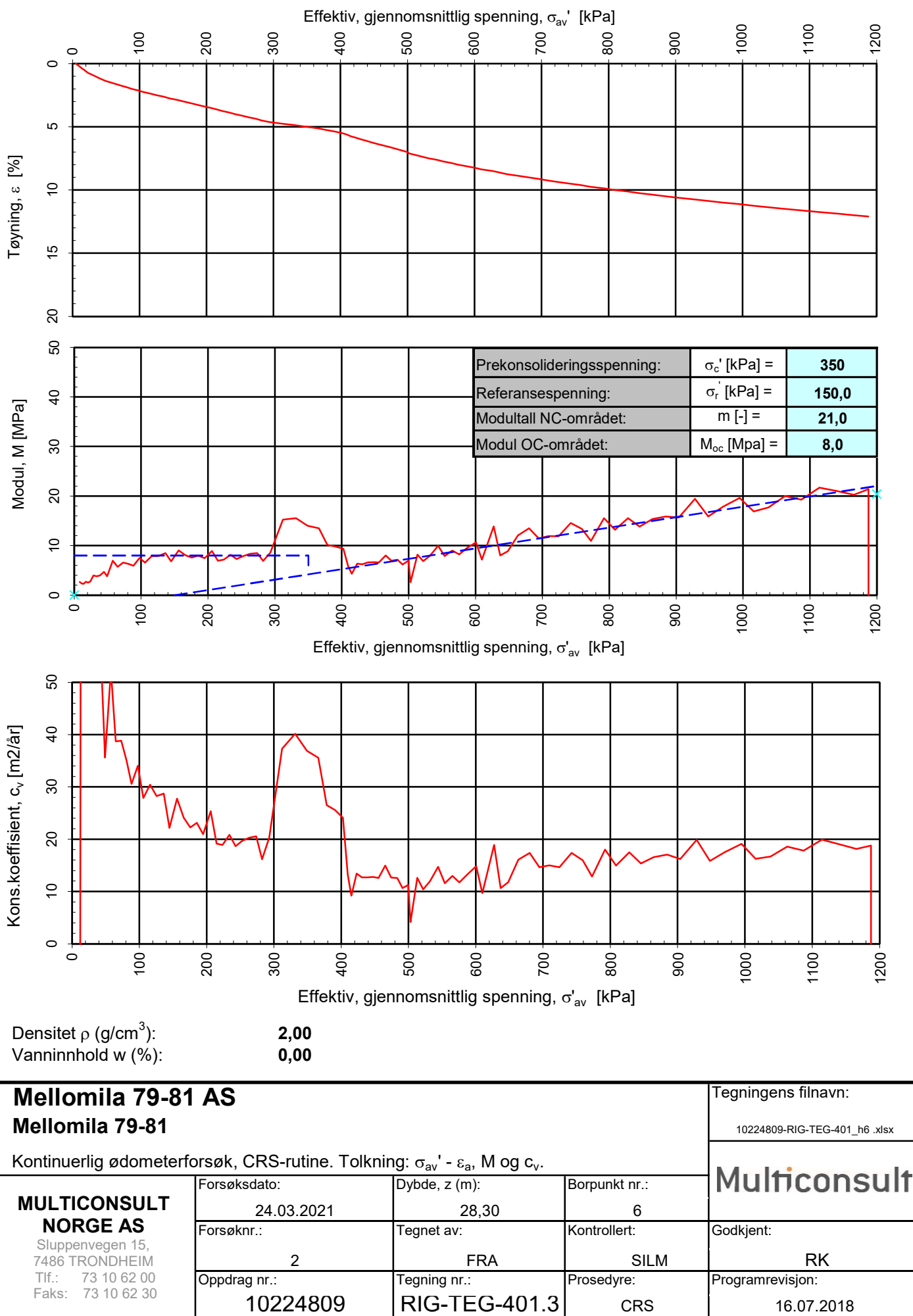
For ytterligere geotekniske vurderinger vises det til notat 10224809-RIG-NOT-002 – Geoteknisk vurdering [1].

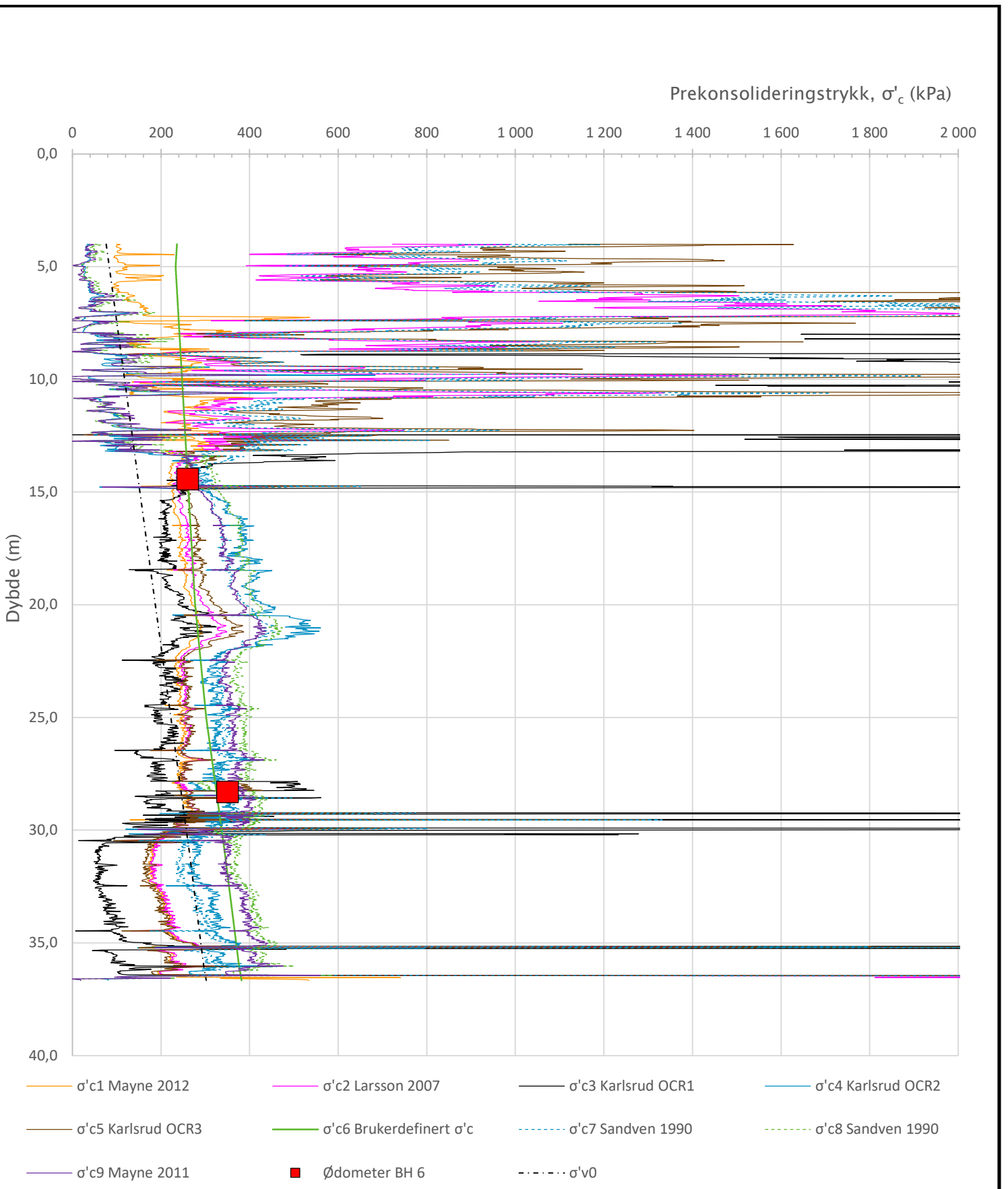
7 Referanser

- [1] Multiconsult Norge AS, «10224809-RIG-NOT-002 - Mellomila 79-81 - Geoteknisk vurdering - Reguleringsplan», mai 2021.
- [2] Multiconsult Norge AS, «10224809-RIG-RAP-001 - Geotekniske grunnundersøkelser», mai 2021.
- [3] Norsk Geoteknisk Forening (NGF), «NGF-Melding nr. 1-11».
- [4] T. Lunne, P.K. Robertson & J.J.M. Powell, «Cone penetration testing - In geotechnical practice.», 1997.
- [5] K. Karlsrud, T. Lunne, D.A. Kort & S. Strandvik, «CPTU Correlations for Clays», 2005.
- [6] NVE, «NIFS Rapport 14/2014. En omforent anbefaling for bruk av anisotropifaktorer i prosjektering i norske leirer.», jan. 2014.
- [7] NVE, «Veileder 1/2019: 'Sikkerhet mot kvikkleireskred. Vurdering av områdestabilitet ved arealplanlegging og utbygging i områder med kvikkleire og andre jordarter med sprøbruddegenskaper'», des. 2020.
- [8] Standard Norge, «Eurokode 7: Geoteknisk prosjektering - Del 1: Allmenne regler (NS-EN 1997-1:2004)», Standard Norge, Norsk standard (Eurokode) NS-EN 1997-1:2004 + A1:2013 + NA:2020, des. 2020.
- [9] Rambøll Norge AS, «1350017722-1 - Mellomila 79 - 81 - Skredfarevurdering for reguleringsplan», nov. 2016.



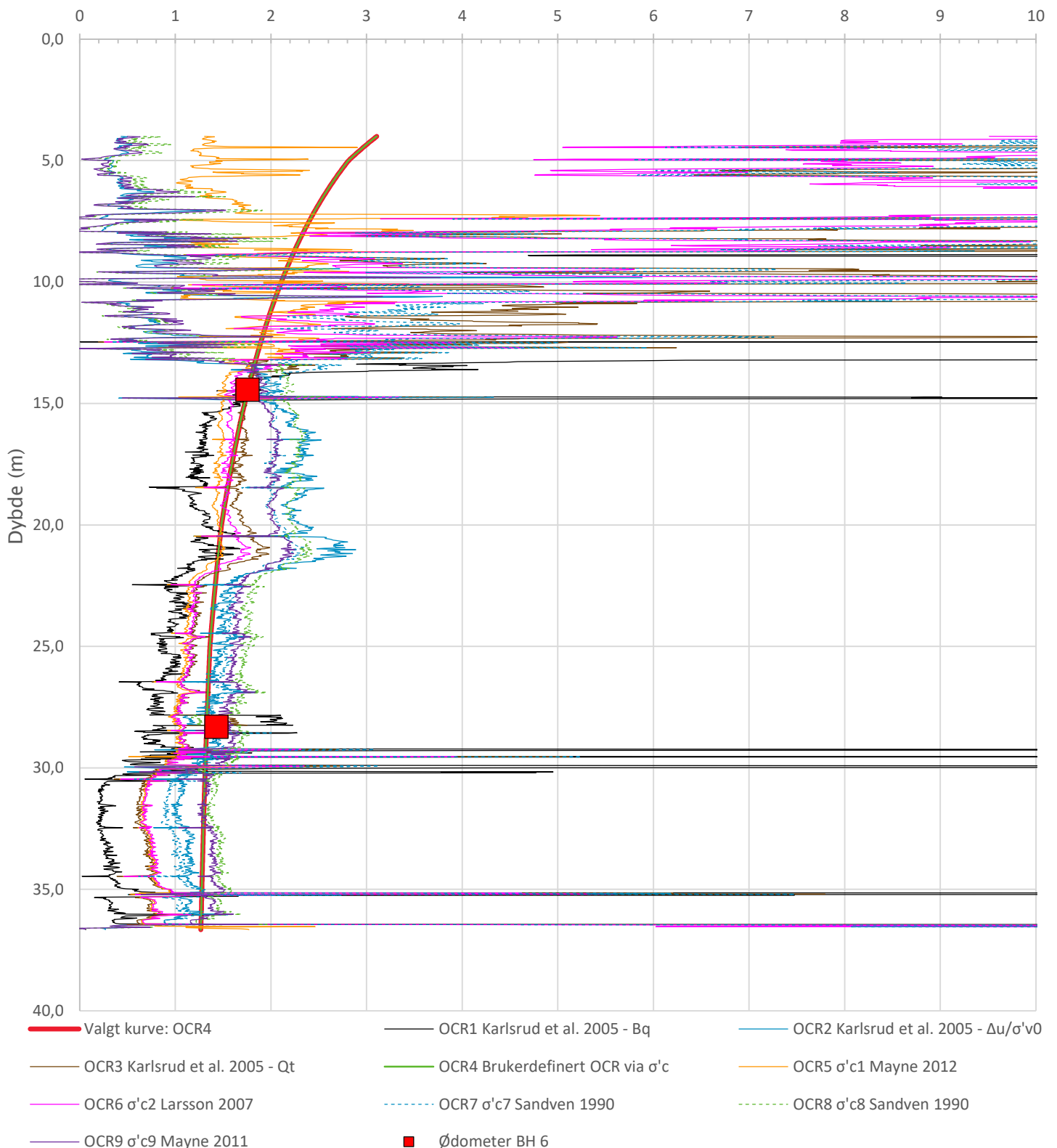






Prosjekt Mellomila 79–81	Prosjektnummer: 10224809 Rapportnummer: 1	Borhull 6	Kote +4,931
Innhold		Sondenummer	
Prekonsolideringstrykk, $\sigma'c$		5288	
Multiconsult	Tegnet FRA Utførende Multiconsult	Kontrollert SILM Data sondering 15.03.2021	Godkjent RK Revisjon Rev. dato
			Anvend.klasse 1 RIG-TEG 500.5

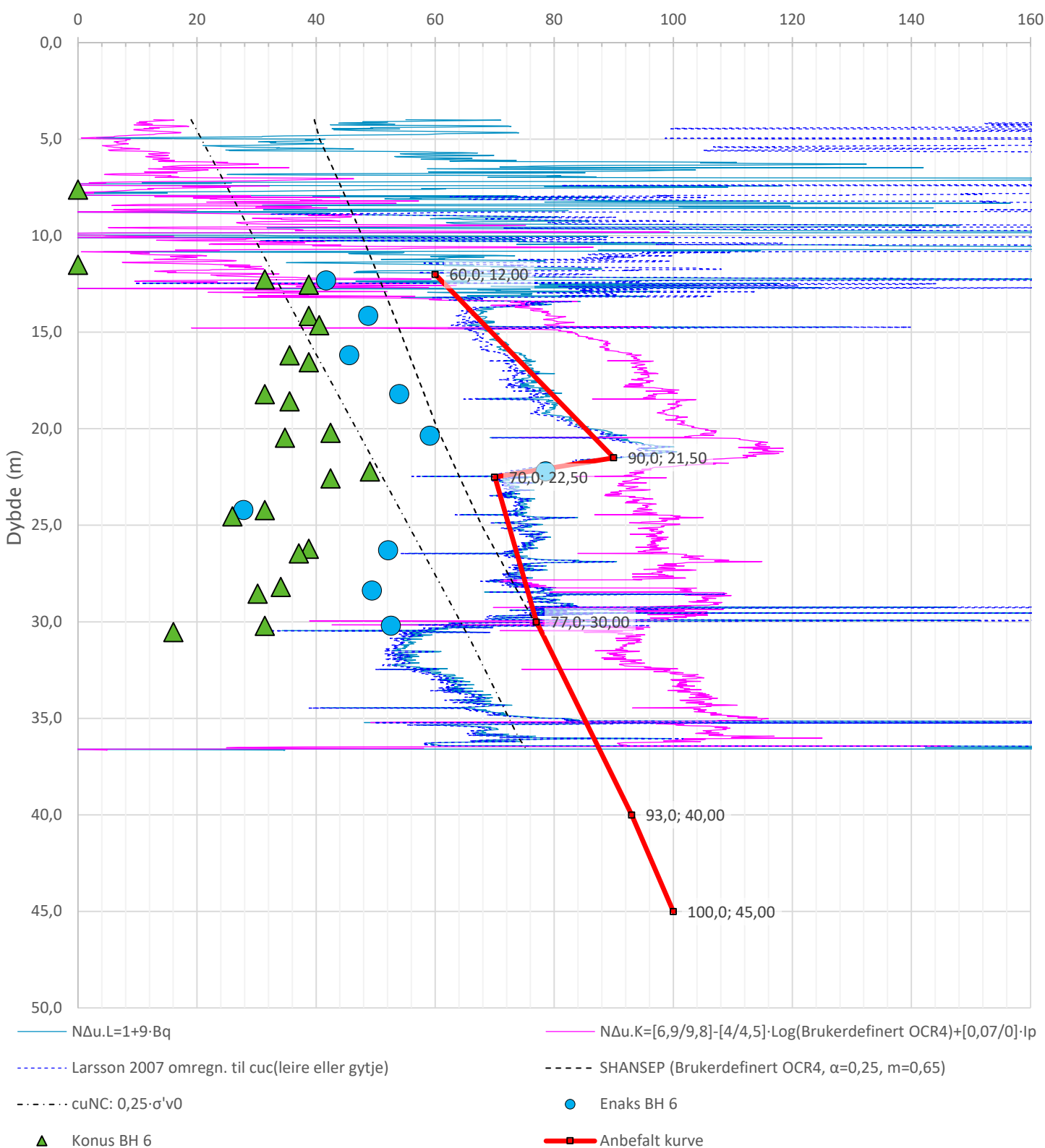
Overkonsolideringsgrad, OCR (-)



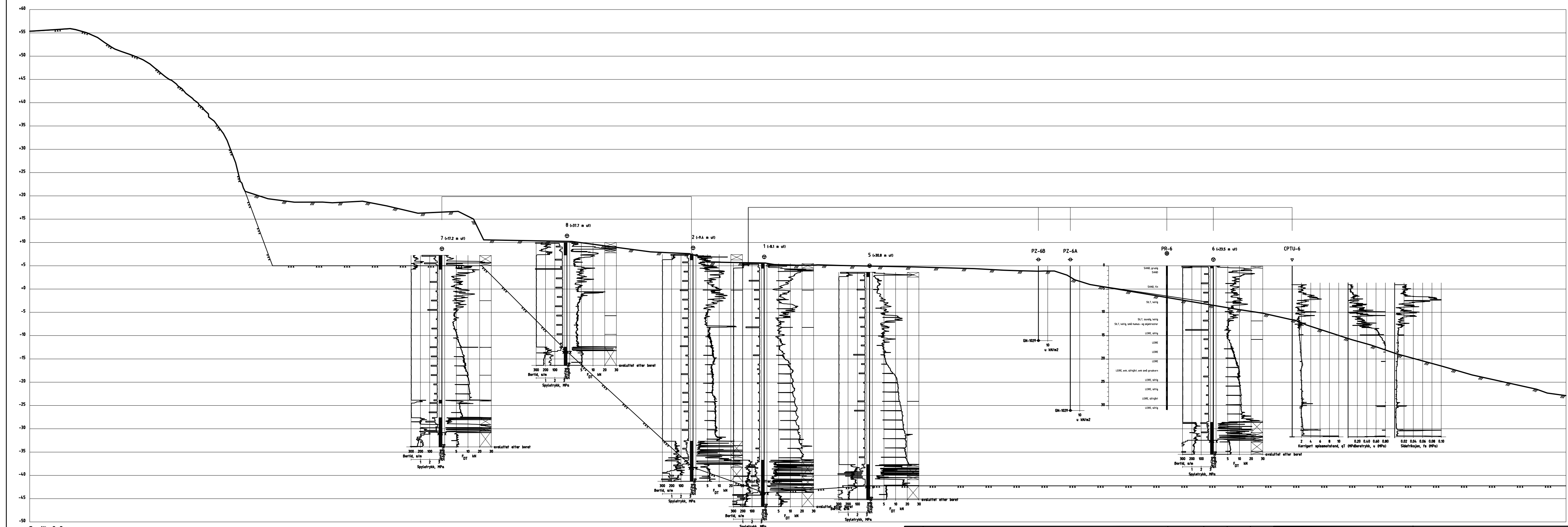
Prosjekt Mellomila 79-81	Prosjektnummer: 10224809 Rapportnummer: 1	Borhull	Kote +4,931
Innhold		Sondenummer	
Overkonsolideringsgrad, OCR			5288
Multiconsult	Tegnet FRA	Kontrollert SILM	Godkjent RK
Utførende Multiconsult	Date sondering 15.03.2021	Revisjon Rev. dato	Anvend.klasse 1 500.6

Anisotropiforhold i figur:
 Treaks BH 6: cuC/cucptu = 1,000
 Enaks BH 6: cuuc/cucptu = 1,000
 Konus BH 6: cufc/cucptu = 1,000

Udrenert aktiv skjærfasthet, c_{ucptu} (kPa)



Prosjekt Mellomila 79–81	Prosjektnummer: 10224809 Rapportnummer: 1	Borhull	Kote +4,931
Innhold		Sondenummer	
Tolkning av udrenert aktiv skjærfasthet			5288
Multiconsult	Tegnet FRA Utførende Multiconsult	Kontrollert SILM Data sondering 15.03.2021	Godkjent RK Revisjon Rev. dato
			Anvend.klasse 1 RIG-TEG 500.7



Profil C-C

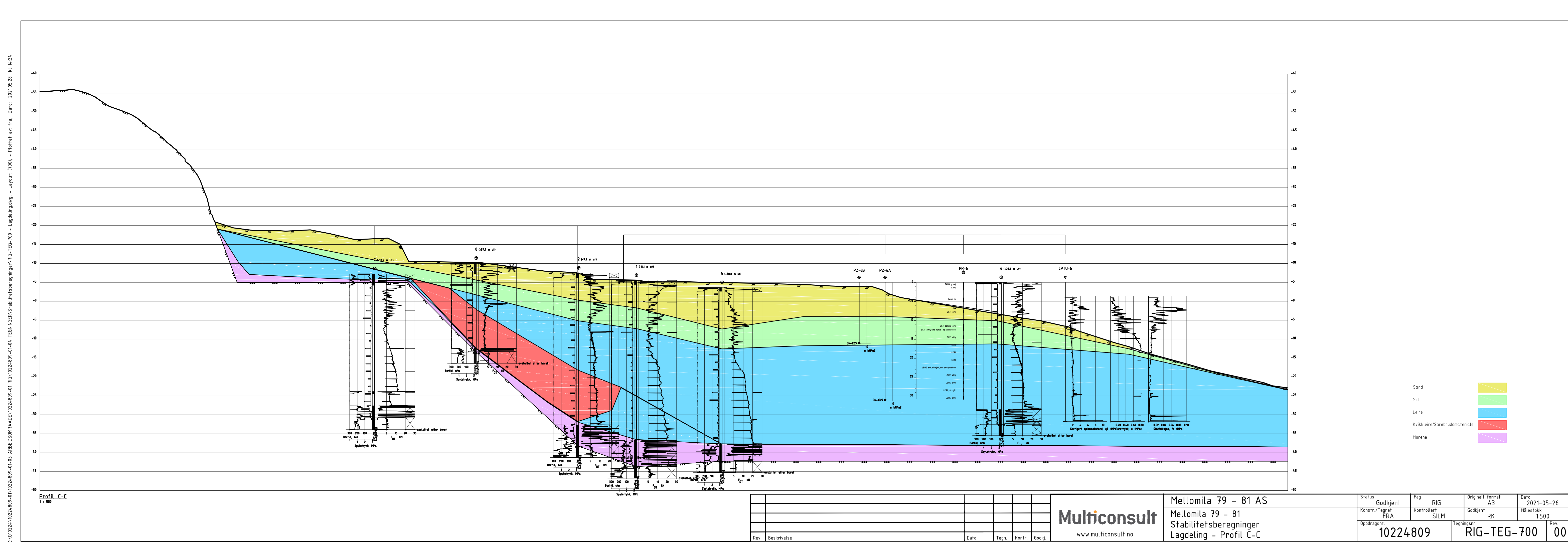
1 : 500

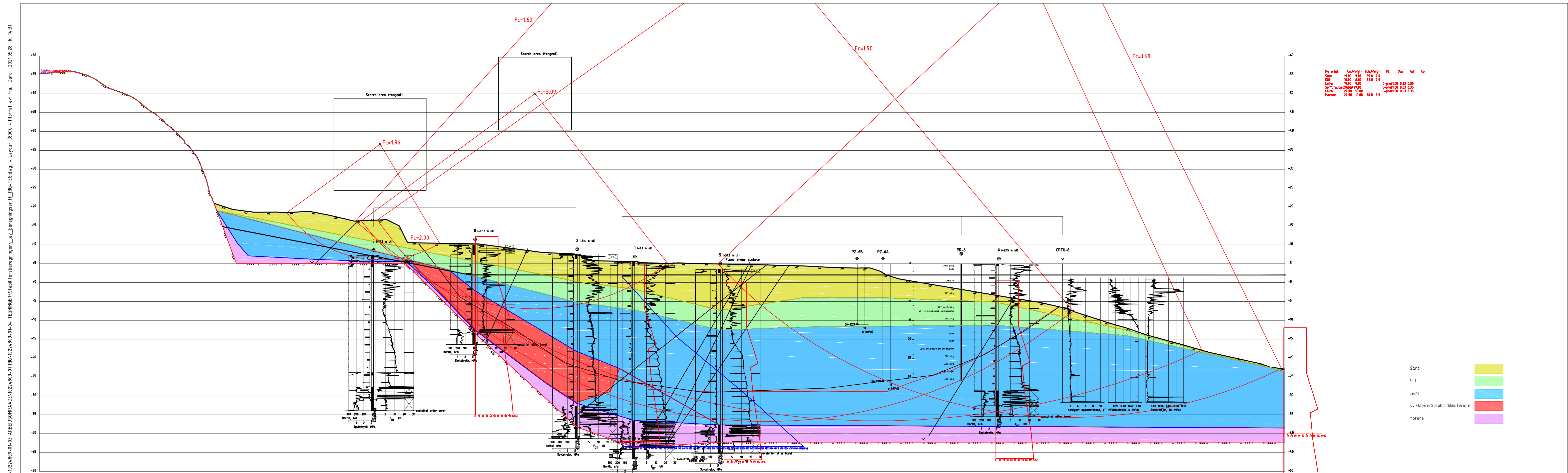
Rev.	Beskrivelse	Dato	Tegn.	Kontr.	Godkj.

Mellomila 79 - 81 AS
Mellomila 79 - 81
Stabilitetsberegninger
Lagdeling - Profil C-C

Multiconsult
www.multiconsult.no

Status Godkjent	Fag RIG	Originalt format A3	Dato 2021-05-26
Konstr./Tegnet FRA	Kontrollert SILM	Godkjent RK	Målestokk 1:500
Oppdragsnr. 10224809	Tegningsnr. RIG-TEG-602	Rev. 00	





Z:\010224\10224809-01\10
-50
Profil C-C
1 : 500
Fc=3,09 - RS
Result file : z:\o10
Fc=1,60 - RS
Result file : z:\o10

4809-01 rig\10224809-01-10 geosuite\stabgraf.rit
4809-01 rig\10224809-01-10 geosuite\stabgraf.rit

profil a-a.R1	Fc=1,68 - RS Result file : z:\o10224\1022480
profil a-a.R2	Fc=1,96 - RS Result file : z:\o10224\1022480

9-01\10224809-01-03 arbeidsomraade\10224809-01
9-01\10224809-01-03 arbeidsomraade\10224809-01

rig\10224809-01-10 geosuite\stabgraf.rit\profil

a-a.R3 Fc=1,90 - RS
 Result file : z:\o10224\10224809-01\10224809-01.R3

a-a.R4 Fc=2,00 - RS
 Result file : z:\o10224\10224809-01\10224809-01.R4

	1	2	3
Spyletrykk, MPa			
224809-01-03 arbeidsomraade\10224809-01 rig\10224809-01			
224809-01-03 arbeidsomraade\10224809-01 rig\10224809-01			

224809-01-10 geosuite\stabgraf.rtf\profil a-a.R5
224809-01-10 geosuite\stabgraf.rtf\profil a-a.R7

MPe		
	Rev.	Beskrivelse

Dato	Tegn.	Kontr.	

Multicon
www.multicon.com

Mello
Mellon
Stabil
Totals

mila 79 - 81 AS
mila 79 - 81
litetsberegninger -
spenningsanalyse -

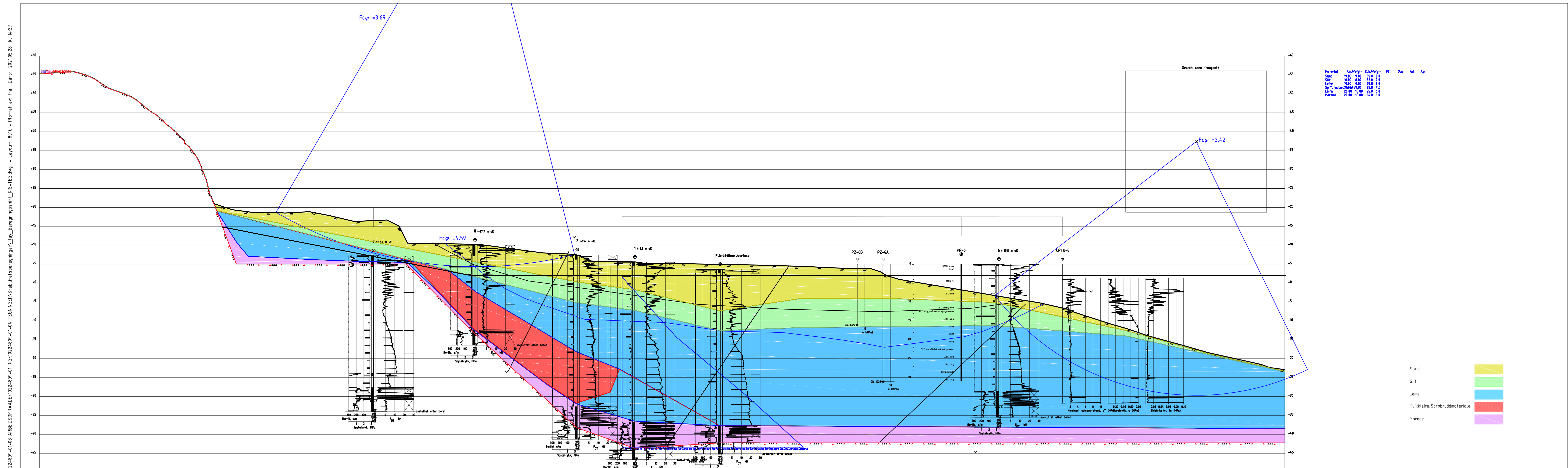
Profil C-C
Udrenert

Status Godkjent	Fag [redacted]
Konstr./Tegnet FRA	Kontrollert
Oppdragsnr. 10224809	

RIG	Originalt format A3
SILM	Godkjent RK
	Tegningsnr. RIG-TEG

Dato	2021-05-19
Målestokk	1:500

	Multiconsult www.multiconsult.no	Mellon Stabil Totals Godkj.
--	-------------------------------------	--------------------------------------



Profil C-
1 - 500
Fcfi=3,69 - RS
Result file : z
Fcfi=2,42 - RS
Result file : z

809-01 rig\10224809-01-10 geosuite\stabgraf.rit
809-01 rig\10224809-01-10 geosuite\stabgraf.rit

Fcfi=4,59 - RS
profil a-a.R6 Result file : z:\o10224\10224-80
profil a-a.R8

9-01\10224809-01-03_arbeidsområde\10224809-01

rig\10224809-01-10 geosuite\stabgraf.rit\profil

$\alpha = \alpha_{R9}$

Spyletetrykk, MPa

DT ... Spyletrykk,

MPa		
	Rev.	Beskrivelse

Dato	Tegn.	Kontr.	

Multicon
www.multicon.com

Mello
Mellon
Stabil
Effekt

mila 79 - 81 AS
mila 79 - 81
litetsberegninger - I
ativspenningsanalyse

-50

Status	Godkjent	Fag
Konstr./Tegnet	FRA	Kontrollert
Oppdragsnr.		10224809

RIG	Originalt format A3
SILM	Godkjent RK
	Tegningsnr. RIG-TEG

Dato	2021-05-19
Målestokk	1:500
-801	Rev. 0

0

Multiconsult
www.multiconsult.no